

5. В отличие от других версий, она также поясняет не только скачкообразное повышение рабочего напряжения (собственно анодный эффект), но и постепенный рост напряжения (перед анодным эффектом на участке с, рис.2), который мы связываем с увеличением количества твердой фазы в гетерогенной системе после пересечения линии ликвидуса.

6. Полученные теоретические и практические результаты могут быть использованы в промышленности при устранении недопустимого анодного эффекта в случае электролиза в расплавленных электролитах.

#### ЛІТЕРАТУРА

1. Thonstad J. On the anode effect in criolyte-alumina melts / Thonstad J., Nordmo F., Vee K. // Electrochimica Acta, 1973, Vol. 18, pp. 27–32.
2. Стендер В.В. Прикладная электрохимия / В.В.Стендер. – Харьков: Изд-во Харьковского ун-та, 1961. – 540с.
3. Кунтий О.І. Електроліз іонних розплавів. Виробництво магнію / О.І.Кунтий, Г.І.Зозуля. – Львів: Вид-во Львівського ун-ту. – 2006. – 208с.
4. Алаторцев А.В. Повышение эффективности электролиза алюминия с помощью математического моделирования / А.В.Алаторцев, Р.Н.Кузьмин, Н.П.Савенкова // Прикладная физика. –2007. – № 4. – С.34-43.
5. Альфа-металл: справочные материалы: ГОСТ. Глава XVIII. Основы расчета алюминиевого электролизера. 2010 г. (Металлургия алюминия Троицкий И.А., Железнов В.А. mht).
6. Томилов А.П. Прикладная электрохимия / Томилов А.П. – 3-е изд. – М.: Химия, 1984. – 480с.
7. Электропроводность электролитов-сuspензий системы  $\text{NaF-AlF}_3\text{-CaF}_2\text{-Al}_2\text{O}_3$  / К.Б.Бакин, О.Н.Симакова, П.В.Поляков [и др.] // Journal of Siberian Federal University. Engineering and Technologies. – 2011. – 2 (4). – P.162-169.
8. Концентрационные изменения в приэлектродных слоях в процессе электролиза / В.С.Кублановский, А.В.Городынский, В.Н.Белинский, Т.С.Глушак. – Киев: Наукова думка, 1978. – 210с.
9. Шаповал В.И. Диффузия ионов кислорода к платиновому аноду в расплавах  $\text{KC1-LiCl}$  / В.И.Шаповал, В.А.Василенко // Ukrainian chemical journal. – 1974. – Т. XL, вып. 8. – С.92-94.

*Поступила в редколлегию 23.04.2018.*

УДК 621.313.322

DOI 10.31319/2519-2884.32.2018.171

НІЗІМОВ В.Б., д.т.н., професор  
КОЛИЧЕВ С.В., к.т.н., доцент  
ДОНЧЕНКО А.П., зав. лабораторії  
ХОМЕНКО В.І.\* , викладач

Дніпровський державний технічний університет, м. Кам'янське  
\*Придніпровський державний металургійний коледж

#### ПІДВИЩЕННЯ ДИНАМІЧНОЇ СТІЙКОСТІ СИНХРОННОГО ГЕНЕРАТОРА АВТОНОМНОЇ ГЕНЕРУЮЧОЇ УСТАНОВКИ

**Вступ.** На даний час у світовій енергетиці спостерігається зростання автономних генеруючих установок (АГУ) на базі синхронних генераторів (СГ), які є джерелом електричної енергії у малонаселених місцевостях, де прокладання ліній електропостачання є недоцільним, а також у місцевостях, доступ до яких ускладнений (гірські місцевості, острова і т.д.) [1]. Крім того, АГУ часто використовується в якості резервного джерела електро живлення для споживачів I та II категорії.

Для підвищення стійкості СГ АГУ та стабілізації вихідної напруги на затисках статора застосовують релейне або параметричне форсування напруги збудження та системи автоматичного регулювання збудження (АРЗ).

Однак у випадках природних катастроф та стихійних лих при підключені споживачів співставної потужності, наприклад, асинхронних двигунів з к.з. ротором СГ втрачають стійкість через інерційність контура збудження, значного динамічного падіння напруги та її тривалості, що призводить до відключення захистом мінімальної напруги попередньо підключених споживачів протягом 0,5-1,5 с при зниженні напруги до  $0,7U_n$  (ПУЕ п. 5.3.52).

Незважаючи на високу швидкодію тиристорних збуджувачів через інерційність контура збудження СГ відбувається аперіодичне запізнювання струму збудження, що часто є причиною втрати стійкості генератора. Тому підвищення швидкодії режимів форсування досягається за рахунок застосування випереджаючої фази напруги збудження і підвищення її кратності. Крім того, підвищення швидкодії режиму форсування може досягатися за рахунок зменшення інерційності каналів вимірювання напруги [2-4].

Наприклад, в [2] запропоновано пристрій, в якому підвищення швидкодії режимів форсування забезпечується за рахунок подвійного диференціювання ЕРС тахогенератора, зчленованого з синхронною машиною (СМ), внаслідок чого форсування збудження відбувається у функції потужності прокатки.

Подальше підвищення швидкодії режиму форсування можливе перемиканням секцій обмоток збудження з послідовного на паралельне з'єднання при незмінному рівні напруги збудження [3]. Технічна реалізація такого пристроя вимагає застосування розділових і комутуючих діодів і ключових елементів. Крім того, обмотка збудження СМ має бути секціонованою.

Для СМ з різкомінним навантаженням запропоновано спосіб, згідно з яким для підвищення швидкодії регулювання збудження вимірюють величину обертового моменту та використовують її як регулюючий параметр [4].

Проте застосування відомих способів і пристрійв форсування напруги збудження не забезпечує зниження інерційності самого контура збудження (КЗ), тобто струм в обмотці збудження (ОЗ) завжди має аперіодичне запізнювання по відношенню до форсувальної напруги, що у результаті визначає стійкість СГ.

Для підвищення динамічної стійкості СГ необхідно компенсувати електромагнітну інерційність контура збудження шляхом вмикання в нього, наприклад, ємнісних накопичувачів енергії (ЕНЕ).

**Постановка задачі.** Теоретичне та експериментальне дослідження системи керування збудженням АГУ з метою підвищення стійкості та стабілізації вихідної напруги генератора шляхом компенсації інерційності ОЗ при значних збуреннях.

**Результати роботи.** Принципову схему системи збудження СГ АГУ з компенсованою ОЗ наведено на рис.1 [5].

Стабілізація вихідної напруги СГ при підключені споживачів з номінальним статичним навантаженням забезпечується системою АРЗ. У випадку підключення спожи-

вачів співставної потужності, що супроводжується зниженням напруги до  $0,85U_h$  або зростанням струму вище  $2I_h$ , блок форсування (БФ) вмикає тиристор VS1, що призводить до розряду конденсатора ЄНЕ на тиристорний перетворювач (ТП) і ОЗ та компенсації інерційності ОЗ. За час, який дорівнює чверті періоду коливального розряду конденсатора, система АРЗ встановлює необхідний рівень напруги збудження, а діод VD4 вимикає конденсатор із контура збудження.

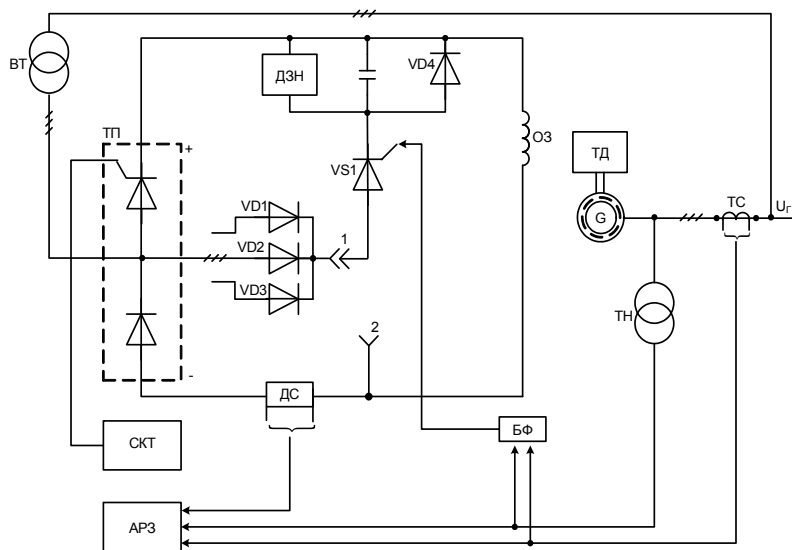


Рисунок 1 – Принципова схема системи збудження СГ АГУ

ний момент СГ можна представити виразом

$$M_c = M_{c0} + \Delta M_c, \quad (2)$$

в якому  $\Delta M_c$  обумовлений кутом  $\Delta\theta$ .

Рівняння моментів генератора прийме вигляд:

$$M_0 - M_c = J_{\Sigma} p\omega,$$

де  $J_{\Sigma}$  – сумарний момент інерції генератора і приводного двигуна;  $\omega$  – кругова частота обертання ротора генератора;  $p = d / dt$  – оператор диференціювання.

З урахуванням того, що  $M_0 = M_{c0}$ ,  $p\theta = \omega_0 - \omega$ , а також співвідношень (1), (2) рівняння моментів прийме вигляд:

$$J_{\Sigma} p^2 \Delta\theta + \Delta M_c = 0, \quad (3)$$

де  $\omega_0$  – синхронна кругова частота.

При прийнятих допущеннях  $M_c$  є функцією лише однієї змінної – кута  $\theta$ , і тому можна записати

$$\Delta M_c = M_s \Delta\theta, \quad (4)$$

де  $M_s$  – коефіцієнт синхронізуючого моменту:

$$M_s = \left( \frac{\partial M_c}{\partial \theta} \right)_{\theta=\theta_0}. \quad (5)$$

Для підвищення швидкодії режимів форсування необхідно визначити алгоритм керування контуром збудження СГ.

При підключені споживачів до СГ кут навантаження можна визначити за виразом:

$$\theta = \theta_0 + \Delta\theta, \quad (1)$$

де  $\theta_0$  – кут навантаження, який відповідає електромагнітному моменту генератора  $M_{c0}$ , рівному новому значенню механічного моменту  $M_0$ . Відповідно і електромагніт-

Таким чином, керування контуром збудження повинно здійснюватись не лише у функції напруги на статорі але і у функції похідної електромагнітного моменту за кутом навантаження СГ.

Математичну модель СГ та структурну схему системи керування контуром збудження наведено на рис.2.

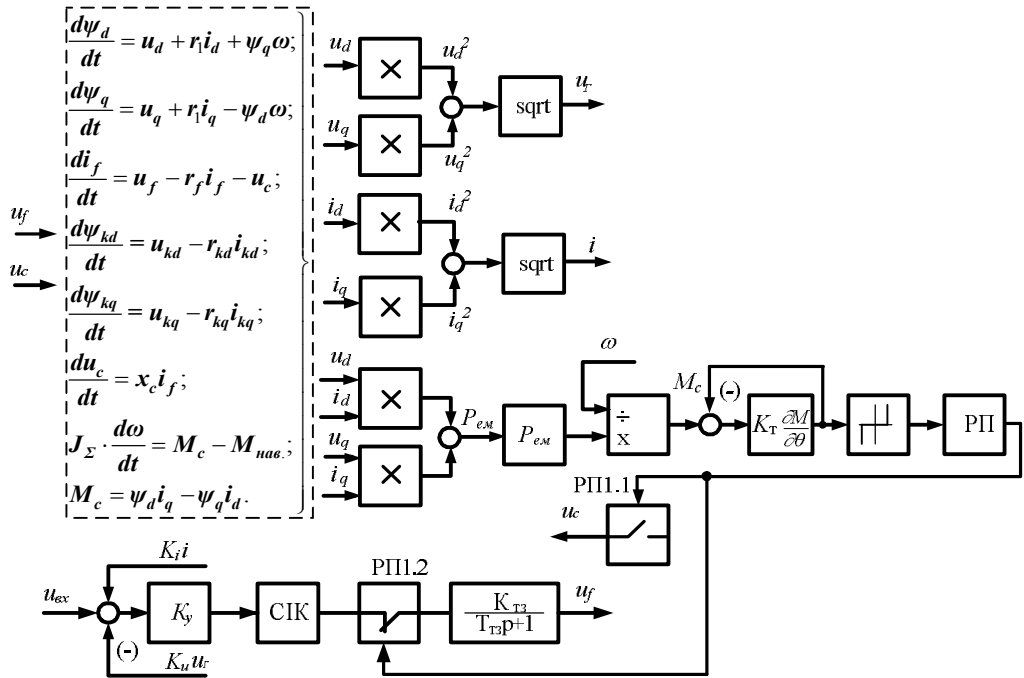


Рисунок 2 – Математична модель СГ та структурна схема системи керування контуром збудження

Обчислення струмів за поздовжньою і поперечною осями, струму контура збудження, поздовжнього і поперечного струмів демпферних контурів здійснюється за виразами:

$$\left. \begin{aligned} i_d &= \Delta_{ID} / \Delta_{AD}; \\ i_q &= \Delta_{IQ} / \Delta_{AQ}; \\ i_f &= \Delta_{IF} / \Delta_{AD}; \\ i_{kd} &= \Delta_{IKD} / \Delta_{AD}; \\ i_{kq} &= \Delta_{IKQ} / \Delta_{AQ}. \end{aligned} \right\} \quad (6)$$

Обчислення значень  $\Delta_{ID}$ ,  $\Delta_{IQ}$ ,  $\Delta_{IF}$ ,  $\Delta_{IKD}$ ,  $\Delta_{IKQ}$ ,  $\Delta_{AD}$ ,  $\Delta_{AQ}$  здійснюється за співвідношеннями:

$$\left. \begin{aligned} \Delta_{AD} &= x_\sigma \cdot x_{\sigma f} \cdot x_{\sigma kd} + x_{ad} \left( x_{\sigma f} \cdot x_{\sigma kd} + x_\sigma \cdot x_{\sigma kd} + x_\sigma \cdot x_{\sigma f} \right); \\ \Delta_{AQ} &= x_\sigma \cdot x_{\sigma kq} + x_{aq} \cdot x_{\sigma kq} + x_{aq} \cdot x_\sigma; \\ \Delta_{ID} &= \left( x_{\sigma f} \cdot x_{\sigma kd} + x_{ad} \cdot x_{\sigma kd} + x_{\sigma f} \cdot x_{ad} \right) \psi_d - x_{ad} \cdot x_{\sigma kd} \cdot \psi_f - x_{ad} \cdot x_{\sigma f} \cdot \psi_{kd}; \\ \Delta_{IQ} &= \left( x_{\sigma kq} + x_{aq} \right) \psi_q - x_{aq} \cdot \psi_{kq}; \\ \Delta_{IF} &= -x_{ad} \cdot x_{\sigma kd} \cdot \psi_d + \left( x_\sigma \cdot x_{\sigma kd} + x_{ad} \cdot x_{\sigma kd} + x_\sigma \cdot x_{ad} \right) \psi_f - x_{ad} \cdot x_\sigma \cdot \psi_{kd}; \\ \Delta_{IKD} &= -x_{ad} \cdot x_{\sigma f} \cdot \psi_d - x_\sigma \cdot x_{ad} \cdot \psi_f + \left( x_\sigma \cdot x_{\sigma f} + x_{ad} \cdot x_{\sigma f} + x_\sigma \cdot x_{ad} \right) \psi_{kd}; \\ \Delta_{IKQ} &= -x_{aq} \cdot \psi_q + \left( x_\sigma + x_{aq} \right) \psi_{kq}. \end{aligned} \right\} \quad (7)$$

Для оцінки впливу ЄНЕ і автоматичного регулятора збудження на вихідні параметри АГУ виконано розрахунки з використанням розробленої моделі [6].

На рис.3, 4 наведено розрахункові залежності вихідної напруги СГ  $U_\Gamma = 230$  В з початковим збудженням  $U_f = 22$  В і вмиканням співставного навантаження у вигляді активних резисторів з опором 10 Ом в кожній фазі на 4-ій секунді  $t = 4$  с. При відсутності і наявності емності накопичувача енергії  $C = 100$  мкФ.

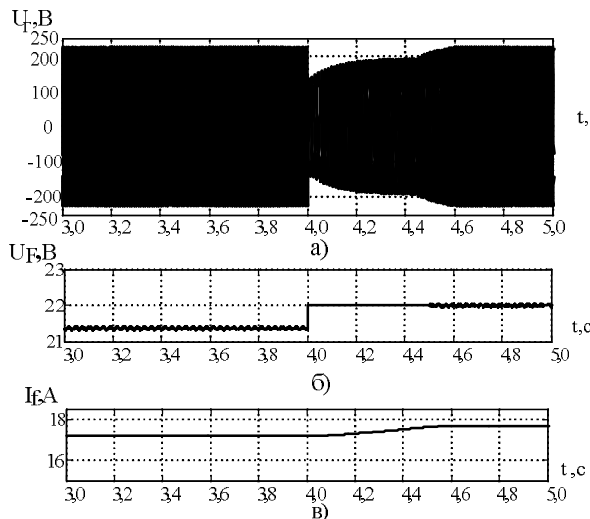


Рисунок 3 – Розрахункові залежності режиму форсування струму збудження СГ без ЄНЕ

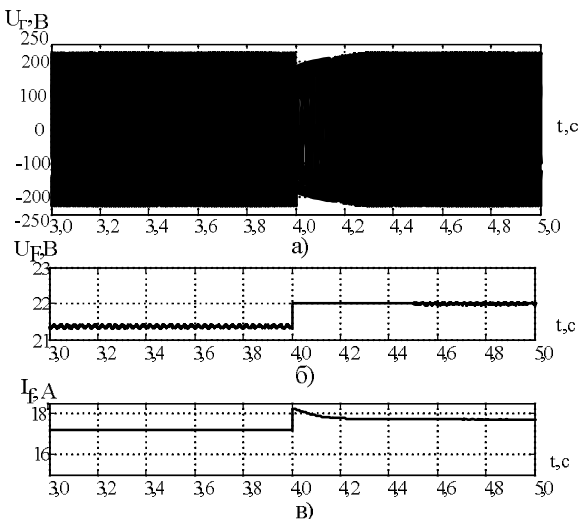


Рисунок 4 – Розрахункові залежності режиму форсування струму збудження СГ з ЄНЕ

Аналіз перехідних процесів показує, що час стабілізації вихідної напруги СМ без ЄНЕ складає  $t \approx 0,6$  с, а з ЄНЕ  $t \approx 0,2$  с. Таким чином при одній і тій самій кратності максимальної напруги збудження швидкодія пристрою, що досліджується, в режимі форсування в три рази вища, ніж без ЄНЕ, а падіння напруги відповідно складає  $\Delta U = 40\%$  та  $\Delta U = 10\%$ .

Для підтвердження теоретичних положень проведено експериментальні дослідження на синхронному генераторі типу МСА-72/4А:  $P_h = 12$  кВт;  $U_c = 230$  В;

$i_{1h} = 37,6 \text{ A}$ ;  $U_{fh} = 27 \text{ B}$ ;  $i_{fh} = 23 \text{ A}$ ;  $n_h = 1500 \text{ об/хв}$ . в режимі форсування струму збудження з запропонованим пристроєм і з серійними тиристорними збуджувачами при підключені споживачів співставної потужності (рис.5, 6).

Ефективність впливу компенсованої системи збудження на динамічну стійкість СГ підтверджено експериментальними дослідженнями при підключені споживача з різним співставним навантаженням.

На рис.5 наведено осцилограми при підключені АД потужністю 11 кВт до СГ з некомпенсованим контуром збудження, а на рис.6 – осцилограмами з компенсованим контуром збудження.

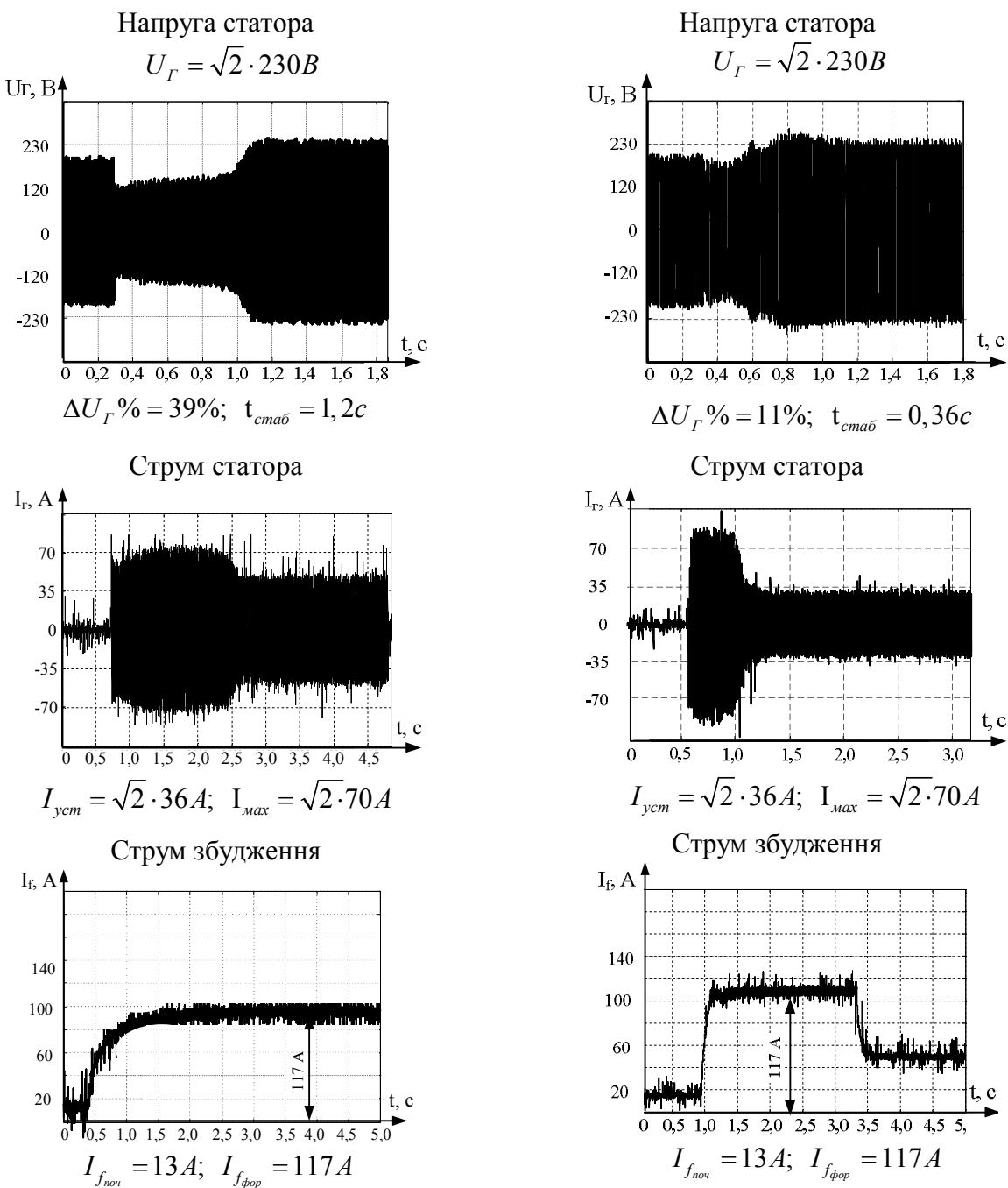


Рисунок 5 – Режим підключення АД до СГ з некомпенсованим контуром збудження

Рисунок 6 – Режим підключення АД до СГ з компенсованим контуром збудження

Таким чином, результати дослідження динамічних режимів роботи СГ типу МСА-72/4А доводять, що час досягнення струмом збудження форсованого значення з некомпенсованим контуром становить 1 с при падінні напруги 39%, а з ємнісним накопичувачем енергії – 0,01 с, компенсація електромагнітної інерційності в тих же умовах забезпечує падіння напруги не більше 11%.

**Висновки.** Підвищення динамічної стійкості синхронного генератора АГУ при підключені споживачів співставної потужності може бути забезпечене ємнісною компенсацією інерційності контура збудження з керуванням режимами форсування у функції похідної електромагнітного моменту за кутом навантаження.

#### ЛІТЕРАТУРА

1. Праховник А.В. Малая энергетика: распределенная генерация в системах электроснабжения / А.В.Праховник. – Кий: Освіта України, 2007. – 462с.
2. А.с. №538469 СССР, МКИ Н 02 Р 9/14. Устройство форсирования возбуждения синхронного двигателя / М. Ю. Файнберг (СССР). – №1411358/07; Заявлено 05.03.70; Опубл. Бюл. №45. – 3 с.
3. А.с. №597062 СССР, МКИ Н 02 Р 9/14. Устройство для форсировки возбуждения электрической машины / В.В.Бочаров, А.П.Князев, Л.Е.Ломоносов, С.Г.Мизюрин, О.Б.Резников, В.Р.Чорба (СССР). – №1338647/24-07; заявл. 25.03.76; опубл. 05.03.78, Бюл. №9. – 2с.
4. А.с. №877772 СССР, МКИ Н 02 Р 9/14. Устройство для форсирования возбуждения синхронного двигателя / М.Ю.Файнберг (СССР). – №2883440/24-07; заявл. 15.02.80; опубл. 30.10.81, Бюл. №40. – 4с.
5. А.с. №1312715 СССР, МКИ Н 02 Р 9/12, 9/14. Устройство для управления возбуждением синхронной машины / В.Б.Низимов, С.В.Колычев (СССР). – №3965507/24-07; заявл. 21.10.85; опубл. 23.05.87, Бюл. №19. – 3с.
6. Нізімов В.Б. Підвищення стійкості автономної установки при значних збуреннях / Нізімов В.Б., Количев С.В., Хоменко В.І. // Енергетичний менеджмент: стан та перспективи розвитку – PEMS'17: міжнар. наук.-техн. та навч.-метод. конф., 25-27 квітня 2017 р.: збірник матеріалів конференції. – К.: КПІ ім. Ігоря Сікорського, 2017. – С.49-50.

Надійшла до редколегії 21.05.2018.